

# Falla en taludes mediante proyección estereográfica

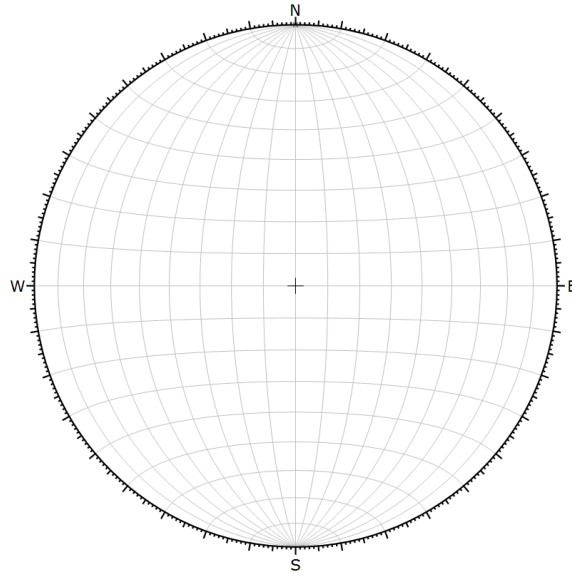


Figura 1: Proyección equiareal

## Ejercicios

1. Determinar el tipo de falla que se produce en:

Plano	Dirección de buzamiento	Buzamiento	Ángulo de fricción	Cohesión
Talud	90°	70°	-	-
A	75°	45°	30°	25 kPa

2. Determinar el tipo de falla que se produce en:

Plano	Dirección de buzamiento	Buzamiento	Ángulo de fricción	Cohesión
Talud	135°	70°	-	-
A	120°	35°	30°	20 kPa

3. Determinar el tipo de falla que se produce en:

Plano	Dirección de buzamiento	Buzamiento	Ángulo de fricción	Cohesión
Talud	210°	50°	-	-
A	200°	40°	20°	23 kPa

4. Determinar el tipo de falla que se produce en:

Plano	Dirección de buzamiento	Buzamiento	Ángulo de fricción	Cohesión
Talud	340°	55°	-	-
A	350°	30°	20°	25 kPa

5. Determinar el tipo de falla que se produce en:

Plano	Dirección de buzamiento	Buzamiento	Ángulo de fricción	Cohesión
Talud	135°	70°	-	-
A	120°	35°	30°	20 kPa
B	220°	60°	30°	22 kPa

6. Determinar el tipo de falla que se produce en:

Plano	Dirección de buzamiento	Buzamiento	Ángulo de fricción	Cohesión
Talud	60°	80°	-	-
A	100°	75°	35°	25 kPa
B	30°	50°	35°	30 kPa

7. Determinar el tipo de falla que se produce en:

Plano	Dirección de buzamiento	Buzamiento	Ángulo de fricción	Cohesión
Talud	210°	60°	-	-
A	120°	60°	20°	18 kPa
B	210°	40°	20°	13 kPa

8. Determinar el tipo de falla que se produce en:

Plano	Dirección de buzamiento	Buzamiento	Ángulo de fricción	Cohesión
Talud	330°	70°	-	-
A	190°	60°	25°	31 kPa
B	210°	40°	25°	32 kPa

9. Determinar el tipo de falla que se produce en:

Plano	Dirección de buzamiento	Buzamiento	Ángulo de fricción	Cohesión
Talud	90°	50°	-	-
A	70°	70°	30°	22 kPa
B	130°	30°	30°	19 kPa

10. Determinar el tipo de falla que se produce en:

Plano	Dirección de buzamiento	Buzamiento	Ángulo de fricción	Cohesión
Talud	135°	70°	-	-
A	320°	70°	30°	12 kPa

11. Determinar el tipo de falla que se produce en:

Plano	Dirección de buzamiento	Buzamiento	Ángulo de fricción	Cohesión
Talud	225°	50°	-	-
A	180°	15°	20°	22 kPa

12. Determinar el tipo de falla que se produce en:

Plano	Dirección de buzamiento	Buzamiento	Ángulo de fricción	Cohesión
Talud	225°	50°	-	-
A	260°	20°	25°	18 kPa

13. Determinar el tipo de falla que se produce en:

Plano	Dirección de buzamiento	Buzamiento	Ángulo de fricción	Cohesión
Talud	230°	40°	-	-
A	220°	15°	20°	13 kPa

14. Determinar el tipo de falla que se produce en:

Plano	Dirección de buzamiento	Buzamiento	Ángulo de fricción	Cohesión
Talud	120°	60°	-	-
A	330°	55°	25°	25 kPa
B	215°	75°	25°	28 kPa

15. Determinar el tipo de falla que se produce en:

Plano	Dirección de buzamiento	Buzamiento	Ángulo de fricción	Cohesión
Talud	100°	45°	-	-
A	330°	70°	30°	15 kPa
B	215°	80°	30°	20 kPa

16. Determinar el tipo de falla que se produce en:

Plano	Dirección de buzamiento	Buzamiento	Ángulo de fricción	Cohesión
Talud	160°	50°	-	-
A	330°	70°	30°	23 kPa
B	215°	80°	30°	18 kPa

17. Determinar el tipo de falla que se produce en:

Plano	Dirección de buzamiento	Buzamiento	Ángulo de fricción	Cohesión
Talud	30°	40°	-	-
A	330°	70°	30°	20 kPa
B	215°	80°	30°	30 kPa

18. Determinar el tipo de falla que se produce en:

Plano	Dirección de buzamiento	Buzamiento	Ángulo de fricción	Cohesión
Talud	100°	45°	-	-
A	340°	70°	30°	17 kPa
B	220°	80°	30°	25 kPa
C	85°	40°	30°	22 kPa

19. Determinar el tipo de falla que se produce en:

Plano	Dirección de buzamiento	Buzamiento	Ángulo de fricción	Cohesión
Talud	160°	50°	-	-
A	330°	70°	30°	23 kPa
B	215°	80°	30°	20 kPa
C	225°	20°	30°	18 kPa

20. Determinar el tipo de falla que se produce en:

Plano	Dirección de buzamiento	Buzamiento	Ángulo de fricción	Cohesión
Talud	30°	55°	-	-
A	220°	70°	20°	17 kPa

21. Determinar el tipo de falla que se produce en:

Plano	Dirección de buzamiento	Buzamiento	Ángulo de fricción	Cohesión
Talud	260°	70°	-	-
A	80°	50°	25°	23 kPa

22. Determinar el tipo de falla que se produce en:

Plano	Dirección de buzamiento	Buzamiento	Ángulo de fricción	Cohesión
Talud	300°	80°	-	-
A	120°	70°	30°	30 kPa

23. Determinar el tipo de falla que se produce en:

Plano	Dirección de buzamiento	Buzamiento	Ángulo de fricción	Cohesión
Talud	130°	65°	-	-
A	300°	60°	20°	25 kPa